

STEFANO DE FRANCISCIS, RAFFAELE MARFELLA, FRANCESCO PERTICONE
ANGELA SCIACQUA, ROBERTO VETTOR

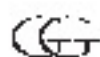
METODOLOGIA

Medica e Chirurgica

Coordinamento Scientifico a cura di
GIORGIO ENRICO GERUNDA

con 720 figure e 200 tabelle

R. ALBERA - D. ARMANINI - V. BALDO - M. BERTOLOTTI - U. BOGGI - L. BONAVINA - M. BOSCARO
P. CARBOGNANI - L. CARULLI - M. CERONI - G. CONZO - G. COSTAMAGNA - E. CUCINOTTA
N. DE MANZINI - B. DIDONA - G. FAGGIAN - F. FAMÀ - F. GABRIELLI - R. GELMINI - G. GERACI
G. LUZI - P. MAESTRELLI - F. MOCCHEGIANI - G. MODICA - M. MONTORSI - U. MORANDI - R. MOTTA
G. MUTO - E. ONORATI - E. OPOCHER - G. PAPPALARDO - F. PASANISI - F. REA - R. ROMAGNOLI - C. ROSTAGNO
C. ROVESTA - P. RUBBA - M. RUSCA - S. SANDRUCCI - P. SIMIONI - A. SPINELLI - E. STELLINI - G.C. STURNIOLO
R. TARQUINI - G. TAZZIOLI - R. VENTURELLA - M. VIVARELLI - A. ZERBI - F. ZULLO



IDELSON-GNOCCHI

Indice generale

| | |
|--|--------|
| <i>Prefazione</i> | XXXIII |
| CAPITOLO 1 - LA "SCIENZA DEI SEGNI" | 1 |
| <i>Corrado Lavini</i> | |
| Una storia plurimillenaria | 1 |
| La semeiotica oggi | 8 |
| Il recupero della "medicina d'osservazione" | 9 |
| QR Code 1.1: | |
| Riassunto, Autovalutazione a risposta multipla, Bibliografia | |
| CAPITOLO 2 - APPROCCIO E COMUNICAZIONE CON IL PAZIENTE | |
| <i>Sergio Sandrucci</i> | |
| <i>Introduzione</i> | 11 |
| <i>Premessa</i> | 11 |
| Modelli professionali e comunicazione: medicina centrata sulla malattia o centrata sul paziente? | 11 |
| La comunicazione fra il medico ed il paziente | 12 |
| Fattori che costituiscono la comunicazione | 13 |
| Il dottor Google | 14 |
| Affinare le abilità di comunicazione | 15 |
| La comunicazione delle cattive notizie | 16 |
| Il paziente chirurgico | 19 |
| <i>L'adattamento alla malattia e l'accettazione delle cure</i> | 20 |
| Reazioni a traumi e a malattie che richiedono una cura chirurgica | 21 |
| Situazioni/pazienti particolari | 21 |
| QR Code 2.1: | |
| Algoritmi strategia comunicativa, Riassunto, Autovalutazione a risposta multipla, Bibliografia | |
| CAPITOLO 3 - LINEAMENTI DI METODOLOGIA CLINICA | 23 |
| <i>Giovanni Federspil, Pietro Maffei, Roberto Vettor</i> | |
| La metodologia della scienza | 23 |
| Metodologia dell'indagine clinica tra scienza e tecnologia | 23 |
| Dalla medicina dei sistemi alla medicina personalizzata: il prepotente ritorno alla clinica dell'individuo | 24 |
| La metodologia clinica | 25 |
| Cenni di logica applicata alla clinica | 27 |
| Il procedimento clinico | 27 |
| Valore segnaletico dei segni e dei sintomi | 28 |

| | |
|--|----|
| Anamnesi ed esame obiettivo come momento dell'osservazione nel metodo scientifico | 30 |
| Errore clinico | 31 |
| Bioetica, psicologia, metodologia epidemiologica e clinica | 32 |
| Diagnosi differenziale e diagnosi probabilistica | 32 |
| La spiegazione in medicina clinica | 33 |
| La prognosi | 34 |
| La terapia | 35 |
| Gli aspetti non scientifici dell'atto clinico | 35 |
| QR Code 3.1: | |
| La metodologia della scienza, Logica applicata alla clinica, Le fallacie quali insidie al processo logico della diagnosi, L'analisi decisionale in medicina clinica, La natura individuale della clinica, Riassunto, Autovalutazione a risposta multipla, Bibliografia | |
| CAPITOLO 4 - ELEMENTI DI METODOLOGIA EPIDEMIOLOGICA | 37 |
| <i>Vincenzo Baldo, Silvia Cocchio</i> | |
| Le misure di frequenza | 37 |
| Gli studi epidemiologici | 43 |
| QR Code 4.1: | |
| Glossario, Riassunto, Autovalutazione a risposta multipla, Bibliografia | |
| CAPITOLO 5 - ANAMNESI GENERALE | 51 |
| <i>Giulia Vannini, Francesco Cei, Roberto Tarquini</i> | |
| Ruolo e struttura dell'anamnesi | 51 |
| Raccolta dei dati biografici | 52 |
| Anamnesi familiare | 52 |
| Anamnesi personale fisiologica | 52 |
| Anamnesi psicosociale | 53 |
| Anamnesi personale patologica | 55 |
| QR Code 5.1: | |
| Riassunto, Autovalutazione a risposta multipla, Bibliografia | |
| CAPITOLO 6 - IL DOLORE E LA FEBBRE | 57 |
| <i>Paolo Strignano, Renato Romagnoli, Roberto Tarquini, Giulia Vannini, Francesco Cei</i> | |
| Richiami anatomo-fisiologici: le vie della sensibilità dolorifica | 57 |
| <i>Trasduzione e trasformazione dell'informazione dei nocicettori</i> | 57 |
| Dolore: suddivisione dei distretti corporei | 61 |
| Classificazione clinica: tipi di dolore | 62 |
| Valutazione del dolore | 63 |
| Trattamento del dolore | 63 |
| Metodi alternativi di controllo del dolore | 63 |
| La febbre | 64 |
| QR Code 6.1: | |
| Riassunto, Autovalutazione a risposta multipla, Bibliografia, Algoritmo febbre e tabelle | |

| | |
|---|-----|
| CAPITOLO 7 - GENERALITÀ DELL'ESAME OBIETTIVO | 73 |
| <i>Roberto Tarquini, Simona Brancati, Silvia Dolenti, Alice Valoriani</i> | |
| Esame obiettivo generale | 74 |
| La psiche e il sensorio | 77 |
| <i>Transitorie perdite di coscienza (TPC) e durature perdite di coscienza</i> | 78 |
| L'atteggiamento e il decubito | 79 |
| L'espressione del volto: la facies | 80 |
| Le mani | 82 |
| I caratteri della cute | 83 |
| <i>Discromie cutanee diffuse</i> | 84 |
| <i>Manifestazioni mucocutanee in corso di malattie di interesse internistico</i> | 85 |
| Lo stato delle mucose visibili | 86 |
| <i>Mucose visibili</i> | 86 |
| Lo stato del tessuto sottocutaneo | 88 |
| <i>Edema</i> | 88 |
| <i>Enfisema sottocutaneo</i> | 89 |
| <i>Circolo vascolare</i> | 90 |
| Le condizioni delle linfoghiandole superficiali | 90 |
| Le condizioni dell'apparato muscolare | 92 |
| Sviluppo e conformazione dello scheletro | 92 |
| QR Code 7.1: | |
| Riassunto, Autovalutazione a risposta multipla, Bibliografia | |
| CAPITOLO 8 - ALVO | 93 |
| <i>Antonino Spinelli, Simone Ricchitelli</i> | |
| Obiettivi | 93 |
| Definizione | 93 |
| Anamnesi | 93 |
| Numero di defecazioni | 94 |
| <i>Meccanismo dell'evacuazione</i> | 95 |
| <i>Rapporto sintomo/evacuazione</i> | 95 |
| <i>Quantità delle feci</i> | 96 |
| <i>Consistenza</i> | 96 |
| <i>Forma</i> | 96 |
| <i>Colore</i> | 96 |
| Esame obiettivo | 98 |
| QR Code 8.1: | |
| Anatomia, Anatomia topografica, Algoritmo diagnostico, Riassunto, Autovalutazione a risposta multipla, Bibliografia | |
| CAPITOLO 9 - VALUTAZIONE DELLO STATO NUTRIZIONALE | 99 |
| <i>Lidia Santarpia, Iolanda Cioffi, Maurizio Marra, Fabrizio Pasanisi</i> | |
| Anamnesi nutrizionale | 101 |
| <i>Questionario di frequenza (FFQ)</i> | 101 |
| <i>Recall delle 24 ore</i> | 101 |
| <i>Diario alimentare</i> | 101 |
| Esame obiettivo | 102 |
| <i>Metodi diretti, DEXA</i> | 103 |

| | |
|---|-----|
| <i>Metodi indiretti, Antropometria</i> | 103 |
| <i>Peso</i> | 103 |
| <i>Indice peso/altezza</i> | 103 |
| <i>Circonferenze corporee</i> | 103 |
| <i>Pliche cutanee</i> | 103 |
| <i>Bio-impedenziometria (BIA)</i> | 104 |
| <i>Calorimetria Indiretta</i> | 104 |
| Equazioni predittive | 104 |
| Dati di laboratorio | 104 |
| Catabolismo | 106 |
| QR Code 9.1: | |
| Riassunto, Autovalutazione a risposta multipla, Bibliografia | |
| CAPITOLO 10 - CUTE, SOTTOCUTE E ANNESSI | 107 |
| <i>Fausto Famà, Dario Didona, Biagio Didona</i> | |
| Struttura della cute | 107 |
| Lesioni elementari della cute | 107 |
| <i>Lesioni primitive</i> | 108 |
| <i>Lesioni secondarie</i> | 111 |
| <i>Lesioni primitivo-secondarie</i> | 113 |
| <i>Carcinoma basocellulare o basalioma</i> | 118 |
| <i>Carcinoma spinocellulare o spinalioma</i> | 119 |
| Palpazione | 120 |
| Percussione | 121 |
| Auscultazione | 121 |
| Semeiotica strumentale | 121 |
| QR Code 10.1: | |
| Struttura della cute, riassunto, Glossario, Algoritmo: profilo diagnostico, Autovalutazione a risposta multipla, Bibliografia | |
| CAPITOLO 11 - APPARATO ENDOCRINO | 123 |
| <i>Marica Grasso, Maria Grazia Esposito, Guido De Sena, Alfonso Barbarisi, Decio Armanini, Marco Boscaro</i> | |
| Ipofisi | 123 |
| <i>Approfondimento anatomico</i> | 123 |
| <i>Anamnesi</i> | 123 |
| <i>Esame obiettivo</i> | 123 |
| Tiroide | 125 |
| <i>Fisiologia funzionale</i> | 125 |
| <i>Semeiotica fisica generale</i> | 125 |
| <i>Semeiotica funzionale generale</i> | 125 |
| <i>Semeiotica delle malattie della tiroide</i> | 128 |
| <i>Complicanze rare dell'ipertiroidismo</i> | 129 |
| Paratiroidi | 132 |
| <i>Anamnesi</i> | 132 |
| <i>Esame obiettivo locale</i> | 132 |
| <i>Iperparatiroidismo</i> | 132 |
| <i>Ipoparatiroidismo</i> | 132 |
| Surreni | 133 |
| <i>Anamnesi</i> | 133 |

| | |
|------------------------------------|-----|
| <i>Esame obiettivo</i> | 133 |
| <i>Ipercorticosurrenalismo</i> | 133 |
| <i>Ipo corticosurrenalismo</i> | 134 |
| Gonadi | 135 |
| <i>Anamnesi</i> | 135 |
| <i>Pubertà precoce</i> | 135 |
| <i>Pubertà ritardata</i> | 135 |
| Pancreas endocrino | 135 |
| <i>Anamnesi ed esame obiettivo</i> | 136 |
| <i>Indagini di laboratorio</i> | 136 |
| <i>Indagini strumentali</i> | 136 |
| Timo | 136 |
| <i>Anamnesi ed esame obiettivo</i> | 136 |
| <i>Definizione dei test</i> | 137 |

QR Code 11.1:

Tiroide, riassunto, Fisiologia funzionale, Complicanze dell'ipotiroidismo, Nodulo neoplastico maligno, Paratiroidi, riassunto, Ipofisi, riassunto, Ghiandole surrenali, riassunto, Pancreas, riassunto, Gonadi, riassunto, Autovalutazione a risposta multipla, Bibliografia

CAPITOLO 12 - SEMEIOTICA DEL COLLO 139

Giuseppe Pappalardo, Massimo Chiavetti

| | |
|--|-----|
| Anatomia topografica | 139 |
| Esame obiettivo generale del collo | 139 |
| <i>Ispezione</i> | 139 |
| <i>Palpazione</i> | 141 |
| <i>Percussione</i> | 142 |
| <i>Ascoltazione</i> | 142 |
| Esame della tiroide | 142 |
| Esame dei linfonodi cervicali | 142 |
| <i>Linfonodi sopraioidei</i> | 142 |
| <i>Linfonodi sottoioidei (tracheali)</i> | 142 |
| <i>Linfonodi parotidei</i> | 143 |
| <i>Linfonodi cervicali superficiali e profondi (regione sternocleidomastoidea)</i> | 143 |
| <i>Linfonodi sopraclavari</i> | 143 |
| <i>Linfonodi nucali</i> | 143 |
| Esame delle ghiandole salivari | 144 |
| <i>Parotidi</i> | 144 |
| <i>Ghiandole sottomascellari</i> | 145 |
| <i>Ghiandole sottolinguali</i> | 145 |
| Esame delle carotidi e delle giugulari | 145 |
| Cisti disembrionogenetiche | 145 |

QR Code 12.1:

Riassunto, Anatomia topografica, Esame della tiroide, Noduli unici della tiroide, Tumefazioni diffuse della tiroide, Gozzo colloidio-cistico multinodulare, Morbo di Basedow, Tiroiditi, I carcinomi indifferenziati o anaplastici, Autovalutazione a risposta multipla, Bibliografia

| | |
|---|-----|
| CAPITOLO 13 - SEMEIOTICA DELL'APPARATO RESPIRATORIO | 147 |
| <i>Piero Maestrelli, Paola Mason, Gabriella Guarnieri</i> | |
| Anamnesi | 147 |
| <i>Anamnesi fisiologica</i> | 147 |
| <i>Anamnesi patologica</i> | 148 |
| Semeiotica fisica del torace | 150 |
| Questionari | 155 |
| Tecniche di indagine della funzionalità respiratoria | 155 |
| <i>Misura dei volumi polmonari e dei flussi respiratori</i> | 156 |
| <i>Curva flusso-volume</i> | 157 |
| <i>Test di reversibilità della bronco-ostruzione</i> | 159 |
| <i>Test di provocazione bronchiale</i> | 159 |
| <i>Monitoraggio del picco di flusso espiratorio</i> | 160 |
| <i>Capacità di diffusione dell'ossido di carbonio</i> | 162 |
| <i>Test di valutazione globale cardiorespiratoria e muscolare</i> | 163 |
| QR Code 13.1: | |
| Riassunto, Anatomia, Questionari per il paziente, Asthma Control Test (ACT), Questionario CECA per la bronchite cronica, COPD Assessment Test (CAT), Questionario per la dispnea mMRC, Scala di Borg, Stop-Bang, Tecniche di indagine della funzionalità respiratoria, Diagnosi con tecniche di endoscopia toracica, Autovalutazione a risposta multipla, Bibliografia | |
| APPROFONDIMENTO - IL NODULO POLMONARE SOLITARIO | 163 |
| <i>Luca Ampollini, Giovanni Bocchialini, Luigi Ventura, Michele Rusca, Paolo Carbognani</i> | |
| QR code: Il nodulo polmonare solitario | |
| Autovalutazione a risposta multipla, Bibliografia, Introduzione, Valutazione clinica, Immagini radiologiche, Rx torace, Tac torace, Dimensione, Attenuazione di segnale, Localizzazione, Margini, Calcificazioni, Pattern morfologici, Enhancement del nodulo, Tasso di crescita, Linfonodi intraparenchimali (IPN), Tomografia a emissione di positroni (PET), Modelli per calcolare la probabilità pre-test di malignità, Gestione, Noduli ground-glass (GGN), Ggn <6 mm, Noduli parzialmente solidi (PSN), Noduli sub-solidi multipli, Nodulo solido, Nodulo solido <6 mm, Nodulo solido di 6-8 mm, Nodulo solido >8 mm, Biopsia non-chirurgica, Biopsia trans-toracica tac guidata, Broncoscopia convenzionale, Ruolo della guida fluoroscopica, Biopsia su guida broncoscopica, Broncoscopia virtuale (vb), Broncoscopia con navigazione elettromagnetica (enb=electromagnetic navigation bronchoscopy), Ecografia radiale endo-bronchiale-rebus (radial endo bronchial ultrasound), Broncoscopio ultrasottile, Nuove metodiche, Asportazione chirurgica, Radioterapia stereotassica (sbrt, stereotactic body radiation therapy), Valutazione funzionale preoperatoria, Conclusioni, Autovalutazione, Bibliografia | |
| CAPITOLO 14 - TRAUMI DEL TORACE | 165 |
| <i>Giovanni Bocchialini, Luca Ampollini, Luigi Ventura, Michele Rusca, Paolo Carbognani</i> | |
| <i>Introduzione</i> | 165 |
| <i>Valutazione e gestione iniziale</i> | 166 |
| Lesioni di parete | 166 |
| <i>Fratture costali semplici</i> | 166 |
| <i>Volet costale (lembo costale mobile)</i> | 167 |
| <i>Fratture dello sterno</i> | 168 |
| <i>Frattura di scapola e clavicola</i> | 168 |

| | |
|--|-----|
| <i>Rottura del diaframma</i> | 168 |
| Lesioni del parenchima polmonare | 168 |
| <i>Trauma tracheo-bronchiale</i> | 168 |
| <i>Contusione polmonare</i> | 170 |
| <i>Pneumotorace</i> | 170 |
| <i>Emotorace</i> | 171 |
| Lesioni dei visceri intratoracici | 172 |
| <i>Trauma esofageo</i> | 172 |
| <i>Ingestione di caustici e corpi estranei</i> | 172 |
| Lesioni di cuore e grossi vasi | 172 |
| <i>Tamponamento cardiaco</i> | 173 |
| <i>Traumatismi cardiaci chiusi</i> | 173 |
| <i>Lesioni dell'aorta</i> | 173 |
| <i>Lesioni dei vasi epiaortici</i> | 173 |
| QR Code 14.1: | |
| Riassunto, Autovalutazione a risposta multipla, Bibliografia | |
| CAPITOLO 15 - SEMEIOTICA DEL MEDIASTINO | 175 |
| <i>Uliano Morandi, Beatrice Aramini</i> | |
| <i>Introduzione</i> | 175 |
| Patologie del mediastino e semeiotica clinica | 175 |
| Semeiotica strumentale | 176 |
| <i>Radiografia del torace</i> | 176 |
| <i>Tomografia ad emissione di positroni (TAC-PET)</i> | 177 |
| <i>Risonanza Magnetica Nucleare (RMN)</i> | 177 |
| <i>Fibrobroncoscopia ed Endoscopia broncoscopica ad ultrasuoni (EBUS)</i> | 177 |
| <i>Broncoscopia operativa</i> | 178 |
| <i>Mediastinoscopia e Toracoscopia chirurgica a scopo diagnostico per patologie del mediastino</i> | 178 |
| <i>Toracoscopia chirurgica a scopo diagnostico</i> | 179 |
| Riscontro indiretto della patologia del mediastino | 180 |
| <i>Sindromi mediastiniche</i> | 180 |
| <i>Pneumomediastino ed Enfisema sottocutaneo</i> | 181 |
| QR Code 15.1: | |
| Riassunto, Autovalutazione a risposta multipla, Bibliografia, Anatomia del mediastino | |
| CAPITOLO 16 - SEMEIOTICA DELLA MAMMELLA | |
| <i>Giovanni Tazzioli</i> | |
| Anatomia topografica | 183 |
| Esame obiettivo | 183 |
| <i>Ispezione</i> | 184 |
| <i>Forma volume e numero</i> | 184 |
| <i>Alterazioni della cute</i> | 185 |
| <i>Alterazioni del profilo</i> | 187 |
| <i>Alterazioni del complesso areola-capezzolo (CAC)</i> | 187 |
| <i>Palpazione</i> | 188 |
| <i>Secrezioni</i> | 191 |
| <i>Stazioni linfonodali</i> | 191 |
| <i>Autopalpazione</i> | 192 |

| | |
|---|-----|
| Tumori credo-familiari della mammella | 193 |
| Semeiotica strumentale | 193 |
| <i>Mammografia</i> | 193 |
| <i>Ecografia</i> | 195 |
| <i>Risonanza Magnetica Nucleare</i> | 195 |
| <i>Galattografia</i> | 196 |
| QR Code 16.1: | |
| Riassunto, Autovalutazione a risposta multipla, Bibliografia, Anatomia topografica, Tumori credo-familiari della mammella | |
| CAPITOLO 17 - APPARATO CARDIOVASCOLARE | 197 |
| <i>Carlo Rostagno</i> | |
| Richiami di anatomia | 197 |
| Anamnesi | 197 |
| <i>Familiarità</i> | 197 |
| <i>Dispnea</i> | 198 |
| <i>Dolore toracico</i> | 199 |
| <i>Cardiopulmo</i> | 200 |
| <i>Sincope</i> | 200 |
| Esame fisico del cuore | 201 |
| Ispezione del cuore | 202 |
| <i>Aspetto della regione precordiale</i> | 202 |
| <i>Sede e caratteri dell'itto della punta</i> | 202 |
| Palpazione | 203 |
| <i>Fremiti e sfregamenti</i> | 203 |
| Percussione del cuore | 204 |
| <i>Area di ottusità assoluta</i> | 204 |
| <i>Area di ottusità relativa</i> | 204 |
| Ascoltazione cardiaca | 205 |
| <i>Focolai di ascoltazione</i> | 206 |
| Toni cardiaci | 207 |
| Timbro dei toni | 210 |
| Sdoppiamento di un tono | 210 |
| Soffi cardiaci | 210 |
| Arterie | 214 |
| Vene giugulari e polso venoso | 215 |
| <i>Reflusso epato-giugulare</i> | 216 |
| Semeiotica Strumentale: Elettrocardiografia | 216 |
| Genesi dell'elettrocardiogramma | 216 |
| <i>Parametri elettrocardiografici di base</i> | 216 |
| <i>L'elettrocardiogramma normale</i> | 218 |
| <i>Asse elettrico del QRS/Blocchi di branca</i> | 220 |
| Ecocardiografia | 220 |
| Anatomia ecocardiografica | 221 |
| Ecocardiografia transesofagea | 221 |
| Ecocardiografia Doppler | 221 |
| Curve velocimetriche normali | 222 |
| L'ecocardiografia nelle valvulopatie | 222 |

QR Code 17.1:

Riassunto, Autovalutazione a risposta multipla, Bibliografia, Richiami di anatomia, Genesi dell'ectrocardiogramma, Cenni di elettrofisiologia clinica, Cenni di anatomia e fisiologia del sistema di eccito-conduzione cardiaca, Tachiaritmie sopraventricolari, Flutter atriale, Fibrillazione atriale, Tachicardia da rientro all'interno della regione sinusale, Tachicardia atriale ectopica, Tachicardia atriale ectopica con blocco AV, Tachicardia atriale da rientro, Tachicardia giunzionale ectopica nodale, Tachicardia da rientro nodale, Tachicardia nodale permanente o incessante, Tachicardie sopraventricolari associate a vie accessorie di conduzione, Sindrome di Wolf-Parkinson-White, Tachicardia ventricolare, Flutter e Fibrillazione ventricolare, Turbe della conduzione atrioventricolare (blocchi A-V), Alterazioni elettrocardiografiche nella cardiopatia ischemica, Ischemia miocardica ed ECG, Infarto miocardico, Diagnosi differenziale all'ECG dell'infarto miocardico, Alterazioni elettrocardiografiche nella pericardite, Alterazioni elettrocardiografiche da turbe elettrolitiche, Asse elettrico del QRS, Deviazioni dell'asse elettrico, Asse elettrico medio dell'onda P, Ipertrofia cardiaca ed elettrocardiografia, Blocchi di branca, Blocco di branca destra, Blocco di branca sinistro, Emiblocchi, Anatomia ecocardiografica, Proiezione lungo l'asse maggiore del ventricolo sinistro (proiezione parasternale asse lungo), Proiezione lungo l'asse minore del cuore (proiezione parasternale asse corto), Proiezione apicale 4 camere, Proiezione sub-xifoidea, Ecocardiografia nelle valvulopatie, Stenosi mitralica, Insufficienza mitralica, Stenosi aortica, Insufficienza aortica, Stenosi polmonare, Insufficienza polmonare, Stenosi tricuspide, Insufficienza tricuspide, Ecocardiografia nelle miocardiopatie, Miocardiopatie dilatative, Miocardiopatie ipertrofiche, Miocardiopatie restrittive, L'ecocardiogramma nella cardiopatia ischemica, L'ecocardiogramma nelle cardiopatie congenite più comuni, Difetto del setto interatriale, Difetto del setto interventricolare (DIV), Pervietà del dotto di Botallo, Tetralogia di Fallot, Malattia di Ebstein, Ecocardiografia nelle malattie del pericardio, Ecocardiogramma nella patologia delle camere cardiache (tumori cardiaci, trombi intracardiaci), Ecocardiogramma nella patologia aortica

CAPITOLO 18 - CHIRURGIA CARDIACA DELL'ADULTO 223

Giuseppe Faggian, Ilaria Franzese, Alessandra Francica, Carla Lucarelli, Livio San Biagio, Francesco Onorati

| | |
|---|-----|
| <i>Introduzione</i> | 223 |
| Cenni di anatomia | 223 |
| Patologia dell'aorta toracica e sindromi aortiche acute | 223 |
| <i>Principi di terapia chirurgica</i> | 226 |
| Valvulopatie aortiche | 227 |
| <i>Principi di terapia chirurgica</i> | 232 |
| Valvulopatie mitraliche | 232 |
| <i>Principi di terapia chirurgica</i> | 234 |
| Cardiopatia ischemica e complicanze meccaniche dell'infarto miocardico acuto | 235 |

QR Code 18.1:

Riassunto, Autovalutazione a risposta multipla, Bibliografia, Cenni di anatomia, Le patologie dell'aorta toracica, Principi di terapia chirurgica, Metodologia clinica e chirurgica della fase postoperatoria e follow-up, Valvulopatia aortica e mitralica, Principi di terapia chirurgica, Metodologia clinica e chirurgica della fase postoperatoria e follow-up, Cardiopatia ischemica e complicanze meccaniche dell'infarto miocardico acuto, Principi di terapia chirurgica, Metodologia clinica e chirurgica della fase postoperatoria e follow-up

| | |
|--|-----|
| APPROFONDIMENTO - LA CHIRURGIA CARDIACA DELLO SCOMPENSO | |
| CARDIACO AVANZATO ED IL TRAPIANTO DI CUORE | 239 |
| <i>Giuseppe Faggian, Alessandra Francica, Livio San Biagio, Francesco Onorati</i> | |
| QR Code, Approfondimento | |
| Introduzione, Cenni di anatomo-patologia, Cenni di fisiopatologia, Semeiotica clinico-strumentale e metodologia chirurgica, Principi di terapia chirurgica, Metodologia clinica e chirurgica della fase postoperatoria e follow-up | |
| CAPITOLO 19 - SEMEIOTICA VASCOLARE DEGLI ARTI | 241 |
| <i>Luca Revelli, Massimo Ferrucci, Rosa Colli</i> | |
| Cenni di anatomia | 241 |
| Dolore agli arti | 241 |
| Esame obiettivo | 243 |
| Esami strumentali | 255 |
| Quadri clinici | 255 |
| QR Code 19.1: | |
| Riassunto, Autovalutazione a risposta multipla, Bibliografia, Cenni di anatomia, Arto superiore, Arto inferiore, Esami strumentali, Traumi | |
| CAPITOLO 20 - SEMEIOTICA ADDOMINALE | 263 |
| <i>Renata D'Incà, Marco Della Coletta, Brigida Barberio, Matteo Ghisa, Sonia Facchin, Giacomo Carlo Sturniolo</i> | |
| Primo approccio alla valutazione dell'addome: punti di repere | 263 |
| Il dolore addominale | 270 |
| L'occlusione intestinale | 271 |
| Il malassorbimento | 272 |
| La diarrea | 273 |
| Malattie Infiammatorie Croniche Intestinali (MICI) | 274 |
| QR Code 20.1: | |
| Obiettivi, Riassunto, Autovalutazione a risposta multipla, Bibliografia, Malattie infiammatorie croniche intestinali (MICI), Epidemiologia, Patogenesi, Segni e Sintomi, Storia naturale della malattia, Iter diagnostico, Diagnosi strumentale, Anatomia patologica | |
| CAPITOLO 21 - ASCITE | 275 |
| <i>Francesco Tandoi, Renato Romagnoli</i> | |
| Fisiopatologia dello sviluppo di ascite | 275 |
| <i>Paziente cirrotico</i> | 275 |
| <i>Paziente sottoposto a trapianto di fegato</i> | 277 |
| <i>Stadiazione di Child-Turcotte-Pugh</i> | 277 |
| <i>Model For End-Stage Liver Disease (MELD)</i> | 277 |
| Diagnosi di ascite | 278 |
| <i>Paracentesi diagnostica</i> | 278 |
| <i>Analisi del liquido ascitico</i> | 278 |
| <i>Diagnostica strumentale</i> | 278 |
| Trattamento dell'ascite | 279 |
| QR Code 21.1: | |
| Riassunto, Autovalutazione a risposta multipla, Bibliografia, Trattamento dell'ascite | |

| | |
|--|-----|
| CAPITOLO 22 - SEMEIOTICA DELL'APPARATO DIGERENTE SUPERIORE | 281 |
| <i>Andrea Sironi, Lavinia Barbieri, Tommaso Panici Tanucci, Luigi Bonavina</i> | |
| Semeiotica clinica | 281 |
| <i>Sintomi</i> | 281 |
| <i>Segni obiettivi</i> | 283 |
| Semeiotica strumentale | 284 |
| <i>Indagini radiologiche</i> | 284 |
| <i>Indagini endoscopiche</i> | 285 |
| <i>Indagini funzionali</i> | 290 |
| QR Code 22.1: | |
| Riassunto, Autovalutazione a risposta multipla, Bibliografia | |
| CAPITOLO 23 - SEMEIOTICA STRUMENTALE GASTROENTEROLOGICA | |
| E BILIOPANCREATICA | 293 |
| <i>Guido Costamagna, Silvia Pecere, Rosario Landi</i> | |
| Endoscopia del tratto digestivo superiore | 293 |
| <i>Esofago</i> | 293 |
| <i>Stomaco</i> | 295 |
| <i>Duodeno</i> | 295 |
| Endoscopia del tratto digestivo inferiore | 296 |
| <i>Intestino tenue</i> | 296 |
| Endoscopia del colon | 299 |
| Toilette intestinale | 300 |
| <i>Valutazione pre-procedura</i> | 300 |
| Endoscopia del tratto Bilio-Pancreatico | 301 |
| <i>Introduzione</i> | 301 |
| <i>Indicazioni</i> | 301 |
| <i>Procedura</i> | 302 |
| Urgenze endoscopiche | 302 |
| QR Code 23.1: | |
| Riassunto, Autovalutazione a risposta multipla, Bibliografia, Urgenze endoscopiche, Tratto digestivo superiore, Sanguinamenti digestivi superiori, varicosi e non varicosi, Ingestione di corpi estranei, Ingestione di caustici, Tratto digestivo inferiore, Sanguinamenti digestivi inferiori, Occlusioni intestinali secondarie a neoformazioni coliche, Distretto bilio-pancreatico, Colangite acuta, Pancreatite acuta biliare, Fistola biliare post-chirurgia delle vie biliari e post-traumatica, Complicanze | |
| CAPITOLO 24 - SEMEIOTICA DEL PANCREAS | 303 |
| <i>Gennaro Nappo, Alessandro Zerbi, Marco Montorsi</i> | |
| Semeiotica fisica | 303 |
| Semeiotica funzionale | 304 |
| Semeiotica strumentale | 304 |
| QR Code 24.1: | |
| Riassunto, Autovalutazione a risposta multipla, Bibliografia | |
| Semeiotica funzionale | |
| Funzione esocrina | |
| Funzione endocrina | |

| | |
|--|------------|
| CAPITOLO 25 - SEMEIOTICA FUNZIONALE DEL FEGATO, DELLA MILZA E DELL'IPERTENSIONE PORTALE | 309 |
| <i>Paolo Ventura</i> | |
| Semeiotica fisica del fegato | 309 |
| Semeiotica funzionale del fegato | 311 |
| Test funzionalità epatica | 313 |
| Semeiotica funzionale dell'ipertensione portale | 313 |
| Diagnostica per immagini del fegato e delle vie biliari | 313 |
| Semeiotica funzionale della milza | 315 |
| Semeiotica funzionale e radiologica della milza | 316 |
| QR Code 25.1: | |
| <p>Riassunto, Autovalutazione a risposta multipla, Bibliografia, Test di valutazione della massa epatocitaria, Test di sofferenza epatocitaria e altri test, Indici di colestasi, Markers virali e test immunologici, Test legati al metabolismo della bilirubina, alla diagnostica differenziale degli itteri e, di transito biliare, Valutazione della bilirubinemia e dei suoi metaboliti, Valutazione degli acidi biliari sierici, Studio della bile da drenaggio duodenale, Semeiotica funzionale e radiologica della milza</p> | |
| CAPITOLO 26 - PERITONEO | 317 |
| <i>Roberta Gelmini</i> | |
| Fisiologia del peritoneo | 317 |
| Patologie principali | 317 |
| <i>Peritonite</i> | 318 |
| <i>Ascite</i> | 319 |
| La patologia neoplastica del peritoneo | 319 |
| QR Code 26.1: | |
| <p>Riassunto, Autovalutazione a risposta multipla, Bibliografia, Cenni di anatomia topografica, Applicazione clinica del trasporto del peritoneo: la dialisi peritoneale</p> | |
| CAPITOLO 27 - PERINEO | 321 |
| <i>Francesco Gabrielli, Matteo Maternini, Angelo Guttadauro, Bruno Cola</i> | |
| Anatomia | 321 |
| Patologie pelvico-perineali | 321 |
| <i>Fattori di rischio</i> | 321 |
| <i>Sintomatologia</i> | 321 |
| Esame obiettivo | 322 |
| Esplorazione ano-rettale | 325 |
| Diagnosi delle patologie pelvico-perineali | 327 |
| <i>Manometria ano-rettale</i> | 327 |
| <i>Pancoloscopia</i> | 328 |
| <i>Colpo-cisto-entero defecografia</i> | 328 |
| <i>Tempi di transito intestinali</i> | 329 |
| <i>Ecografia Pelvica, Tranvaginale e Transperineale</i> | 329 |
| <i>Ecoendosonografia anale</i> | 329 |
| Esame Urodinamico | 330 |
| Latenza motoria del nervo pudendo (LMNP) | 330 |
| QR Code 27.1: | |
| <p>Riassunto, Autovalutazione a risposta multipla, Bibliografia, Anatomia, Ano e canale anale (comparto posteriore)</p> | |

| | |
|--|-----|
| CAPITOLO 28 - SEMEIOTICA DELL'APPARATO UROGENITALE MASCHILE | 333 |
| <i>Giovanni Muto, Lorenzo Tosco, Gianluca Muto, Federico Germinale, Alessandro Giacobbe</i> | |
| Cenni di anatomia dell'apparato urinario | 333 |
| La semeiotica del rene | 333 |
| Semeiotica Ecografica del Rene | 334 |
| La nefrolitiasi | 335 |
| La pielonefrite | 336 |
| Le neoplasie renali | 336 |
| La semeiotica della pelvi renale e dell'uretere | 337 |
| Le neoplasie dell'alta via escrettrice | 338 |
| La patologia litiasica e l'idro-uretero-nefrosi | 338 |
| La semeiotica della vescica | 339 |
| La ritenzione acuta di urina | 340 |
| Le neoplasie vescicali | 341 |
| La semeiotica della prostata | 341 |
| L'adenomatosi prostatica | 342 |
| Le neoplasie prostatiche | 343 |
| La semeiotica del testicolo | 343 |
| La semeiotica del pene | 346 |
| Il priapismo | 346 |
| QR Code 28.1: | |
| RIASSUNTO, Autovalutazione a risposta multipla, Bibliografia, Cenni di anatomia dell'apparato urinario | |
| CAPITOLO 29 - SEMEIOTICA UROGINECOLOGICA | 347 |
| <i>Elisa Berdondini, Giovanni Muto, Annarita Palumbo, Roberta Venturilla, Fulvio Zullo</i> | |
| Anamnesi ginecologica | 347 |
| <i>Dolore</i> | 348 |
| <i>Sanguinamento anomalo</i> | 348 |
| <i>Perdite non ematiche</i> | 348 |
| Esame obiettivo ginecologico | 349 |
| Prolasso degli Organi Pelvici (POP) | 351 |
| Endometriosi | 352 |
| Ispezione e palpazione dell'area pubica | 352 |
| Semeiotica della vescica | 353 |
| Cistite (infezione non complicata delle basse vie urinarie) | 353 |
| Incontinenza urinaria | 353 |
| Semeiotica dell'uretra | 354 |
| Semeiotica del retto | 354 |
| Stipsi o stitichezza | 355 |
| Incontinenza fecale | 355 |
| Diagnostica di laboratorio e strumentale | 355 |
| <i>Esame batteriologico delle secrezioni vaginali e cervicali</i> | 355 |
| <i>Pap-Test</i> | 355 |
| <i>Test HPV (Human Papilloma Virus)</i> | 356 |
| <i>Colposcopia</i> | 356 |
| <i>Ecografia pelvica</i> | 357 |

| | |
|--|-----|
| <i>Isterosalpingografia (HSG)</i> | 357 |
| <i>Istero-sono-salpingografia (SHSG)</i> | 357 |
| <i>Isteroscopia</i> | 357 |
| <i>Tomografia Computerizzata (TC) e Risonanza Magnetica Nucleare (RMN)</i> | 358 |
| <i>Esami ematochimici</i> | 358 |

QR Code 29.1:

Riassunto, Autovalutazione a risposta multipla, Bibliografia, Introduzione, Anatomia, Endometriosi, Il Lichen sclerosus dei genitali, Cisti vulvari, Neoplasie della vulva, La stenosi uretrale, Il diverticolo uretrale, La fistola uretrale, Masse parauretrali, Caruncola uretrale (prolasso della mucosa uretrale)

CAPITOLO 30 - METODOLOGIA E SEMEOTICA CLINICA DELL'APPARATO

| | |
|-------------------|-----|
| LOCOMOTORE | 361 |
|-------------------|-----|

Claudio Rovesta

| | |
|-----------------|-----|
| Anamnesi | 361 |
|-----------------|-----|

| | |
|---------------------|-----|
| Esame fisico | 362 |
|---------------------|-----|

| | |
|-----------------------------|-----|
| Apparato scheletrico | 366 |
|-----------------------------|-----|

| | |
|--|-----|
| <i>Esame strumentale dell'apparato scheletrico</i> | 367 |
|--|-----|

| | |
|----------------------------|-----|
| Apparato articolare | 367 |
|----------------------------|-----|

| | |
|---------------|-----|
| <i>Spalla</i> | 368 |
|---------------|-----|

| | |
|---------------|-----|
| <i>Gomito</i> | 369 |
|---------------|-----|

| | |
|-------------|-----|
| <i>Anca</i> | 369 |
|-------------|-----|

| | |
|------------------|-----|
| <i>Ginocchio</i> | 369 |
|------------------|-----|

| | |
|--|-----|
| Semeiotica strumentale articolare | 370 |
|--|-----|

| | |
|----------------------------------|-----|
| Apparato muscolo-tendineo | 370 |
|----------------------------------|-----|

| | |
|-------------------|-----|
| <i>Generalità</i> | 370 |
|-------------------|-----|

| | |
|---------------------|-----|
| <i>Esame fisico</i> | 370 |
|---------------------|-----|

| | |
|---------------|-----|
| <i>Spalla</i> | 371 |
|---------------|-----|

| | |
|--------------|-----|
| <i>Polso</i> | 372 |
|--------------|-----|

| | |
|----------------------|-----|
| <i>Gamba e piede</i> | 372 |
|----------------------|-----|

| | |
|----------------|-----|
| <i>Rachide</i> | 372 |
|----------------|-----|

| | |
|--|-----|
| Semeiotica strumentale dell'apparato muscolo-tendineo | 372 |
|--|-----|

QR Code 30.1:

Riassunto, Autovalutazione a risposta multipla, Bibliografia, Esame strumentale dell'apparato scheletrico, Esame radiologico, Tomografia Computerizzata (TC), Risonanza Magnetica (RM), Densitometria ossea, Scintigrafia ossea, Tomografia ad Emissione di Positroni (PET), Diagnostica di laboratorio, Markers turnover osseo, Semeiotica strumentale articolare, Esami di laboratorio, Semeiotica strumentale dell'apparato muscolo-tendineo, Diagnostica di laboratorio

| | |
|--|-----|
| CAPITOLO 31 - SEMEOTICA OTORINOLARINGOIATRICA | 373 |
|--|-----|

Roberto Albera, Andrea Albera

| | |
|-------------------------------|-----|
| Malattie dell'orecchio | 373 |
|-------------------------------|-----|

| | |
|--|-----|
| Paralisi del nervo faciale (VII N.C.) | 378 |
|--|-----|

| | |
|---|-----|
| Vertigine e disturbi dell'equilibrio | 380 |
|---|-----|

| | |
|---|-----|
| Naso, seni paranasali, cavo rinofaringeo | 383 |
|---|-----|

| | |
|---------------------------|-----|
| Ghiandole salivari | 388 |
|---------------------------|-----|

| | |
|--------------------------------|-----|
| Cavo orale e orofaringe | 389 |
|--------------------------------|-----|

| | |
|-----------------------------|-----|
| Laringe e ipofaringe | 392 |
|-----------------------------|-----|

QR Code 31.1:

Riassunto, Autovalutazione a risposta multipla, Bibliografia

| | |
|---|-----|
| CAPITOLO 32 - SEMEIOTICA ODONTOIATRICA | 397 |
| <i>Francesco Saverio Ludovichetti, Riccardo Ludovichetti, Marika Gervasi, Edoardo Stellini, Sergio Mazzoleni</i> | |
| Labbra | 398 |
| Commessure, guance, fornici genieni | 398 |
| Processi alveolari | 398 |
| Lingua | 399 |
| Pavimento della bocca | 399 |
| Palato duro e molle | 400 |
| Placca e tartaro | 400 |
| Apparato parodontale | 400 |
| Apparato dentale | 400 |
| Esame funzionale | 402 |
| Tagli e ferite | 402 |
| Alterazioni cromatiche delle mucose | 404 |
| Il dolore in odontoiatria | 408 |
| QR Code 32.1: | |
| Riassunto, Autovalutazione a risposta multipla, Bibliografia, Principi di occlusione | |
| | |
| CAPITOLO 33 - DIAGNOSTICA PER IMMAGINI | 409 |
| <i>Raffaella Motta, Paolo Marchesi, Chiara Giraud, Amalia Lupi</i> | |
| Tecniche di imaging | 410 |
| <i>Radiologia tradizionale</i> | 410 |
| <i>Tomografia computerizzata (TC)</i> | 410 |
| <i>Risonanza magnetica (RM)</i> | 411 |
| <i>Ecografia</i> | 412 |
| <i>Medicina Nucleare</i> | 413 |
| <i>Radiologia Interventistica</i> | 414 |
| Diagnostica per immagini | 414 |
| <i>Imaging dell'apparato respiratorio</i> | 414 |
| <i>Imaging dell'apparato cardiovascolare</i> | 416 |
| <i>Imaging del collo</i> | 418 |
| <i>Imaging dell'addome</i> | 418 |
| <i>Imaging dell'apparato muscolo-scheletrico</i> | 426 |
| <i>Imaging del sistema nervoso centrale</i> | 426 |
| QR Code 33.1: | |
| Riassunto, Autovalutazione a risposta multipla, Bibliografia, Radiologia interventistica: approfondimento, I mezzi di contrasto | |
| | |
| CAPITOLO 34 - SEMEIOTICA E METODOLOGIA DI STUDIO DEL SISTEMA NERVOSO | 427 |
| <i>Mauvo Ceroni, Luca Diamanti, Elisa Vegezzi, Matteo Gastaldi</i> | |
| <i>Introduzione generale</i> | 427 |
| Approccio ai disturbi della coscienza, al decadimento cognitivo e ai disturbi psicotici | 427 |
| Sistema motorio e coordinazione | 427 |
| <i>Il sistema piramidale</i> | 427 |
| <i>Il sistema extrapiramidale</i> | 430 |
| <i>Il sistema cerebellare</i> | 431 |
| <i>Disturbi della stazione eretta e della deambulazione</i> | 432 |

| | |
|---|-----|
| Il sistema somato-sensitivo | 433 |
| Semeiotica dei nervi cranici | 434 |
| <i>Il nervo olfattorio</i> | 435 |
| <i>Il nervo ottico</i> | 435 |
| <i>La motilità oculare estrinseca ed intrinseca</i> | 436 |
| <i>Il nervo trigemino</i> | 437 |
| <i>Il nervo faciale</i> | 437 |
| <i>Il nervo acustico-vestibolare</i> | 438 |
| <i>I nervi della base cranica (glossofaringeo, vago, accessorio, ipoglosso)</i> | 438 |
| Semeiotica del sistema nervoso periferico | 439 |
| Semeiotica strumentale | 441 |
| <i>Esame liquorale</i> | 441 |
| <i>Elettromiografia (EMG) e Elettroencefalografia (EEG)</i> | 442 |
| <i>ENG</i> | 442 |
| <i>EMG</i> | 442 |
| <i>Diagnostica radiologica</i> | 443 |
| <i>EEG</i> | 443 |
| <i>Medicina nucleare</i> | 444 |
| QR Code 34.1: | |
| Riassunto, Autovalutazione a risposta multipla, Bibliografia, Approccio ai disturbi della coscienza, al decadimento cognitivo e ai disturbi psicotici, Disturbi della coscienza, Disturbi della cognizione o della intelligenza, Disturbi psicotici | |
| CAPITOLO 35 - MALATTIE DEL METABOLISMO | 445 |
| <i>Marco Bertolotti, Lucia Carulli</i> | |
| Diabete mellito | 445 |
| <i>Classificazione e cenni di fisiopatologia</i> | 445 |
| <i>Criteri diagnostici</i> | 445 |
| <i>Semeiotica del diabete</i> | 446 |
| Ipoglicemie | 447 |
| Obesità | 448 |
| Epatopatia steatosica non-alcolica | 449 |
| Dislipidemie | 450 |
| <i>Iperlipemie (iperlipoproteinemie): classificazione e cenni di fisiopatologia</i> | 450 |
| <i>Clinica e approccio semeiologico</i> | 450 |
| Ipolipidemie | 451 |
| Iperuricemia | 453 |
| Sindrome metabolica | 454 |
| Magrezza | 456 |
| Cenni sui principali difetti congeniti del metabolismo | 457 |
| <i>Disordini del metabolismo dei carboidrati</i> | 457 |
| <i>Disordini del metabolismo lipidico</i> | 458 |
| <i>Disordini del metabolismo aminoacidico</i> | 459 |

QR Code 35.1:

Riassunto, Autovalutazione a risposta multipla, Bibliografia, Diabete, Complicanze, Diagnostica di laboratorio e strumentale, Obesità, Fattori genetici, Fattori ambientali, Altri Fattori di rischio, Obesità e patologie associate, Epatopatia steatosica non-alcolica, Incidenza e prevalenza, Diagnosi, Fattori di rischio, Dislipidemie, Iperlipemie (iperlipoproteinemie): classificazione e cenni di fisiopatologia, Iper-

lipemie secondarie, Diagnostica di laboratorio e strumentale, approfondimento, Sindrome metabolica, Criteri Classificativi

CAPITOLO 36 - SEMEIOTICA IN IMMUNOLOGIA CLINICA 461

Giuseppe Luzi

Approccio alla semeiotica clinica e di laboratorio 461

Immunodeficienze 461

Malattie autoimmuni 465

Lupus eritematoso sistemico 465

Sclerodermia, sclerosi sistemica 466

Sindrome di Sjögren 467

Polimiosite, Dermatomiosite 468

Vasculiti 469

Allergie 469

Sindromi allergiche 469

Malattie allergiche di comune riscontro 470

Diagnostica nelle allergie 473

QR Code 36.1:

Riassunto, Autovalutazione a risposta multipla, Bibliografia, Anatomia funzionale della risposta immunitaria, Le componenti del sistema immunitario, Approccio alla semeiotica clinica e di laboratorio, Immunodeficienze, Approfondimento, Parametri di laboratorio di riferimento per deficit della risposta immunitaria, Immunità anticorpo-mediata, Studio delle sottopopolazioni linfocitarie, Come orientarsi per la diagnosi nelle immunodeficienze primitive, Sindrome di Sjögren, Approfondimento, Vasculiti, forme classificate

CAPITOLO 37 - SEMEIOTICA DI LABORATORIO DELLE MALATTIE

EMORRAGICHE E TROMBOTICHE 475

Elena Campello, Paolo Simioni

Cenni di fisiologia dell'emostasi 475

Test di laboratorio per lo studio dell'emostasi 475

Test di laboratorio per lo studio delle malattie emorragiche 476

Test per lo studio della coagulazione 476

Test per lo studio delle piastrine 478

Approccio clinico diagnostico al paziente con sindrome emorragica 479

Diagnostica delle malattie emorragiche congenite e acquisite 482

Test di laboratorio per lo studio delle malattie trombotiche 483

Test di laboratorio per la diagnosi di trombofilia ereditaria 484

Test di laboratorio per la diagnosi di trombofilia acquisita 486

Approccio clinico diagnostico al paziente con malattia trombotica 487

QR Code 37.1:

Riassunto, Autovalutazione a risposta multipla, Bibliografia, Cenni di fisiologia dell'emostasi, Difetto congenito di FXI (Emofilia C), Emofilia, Emartro, difetto congenito, di fattore V, difetti congeniti di FX e FII, Test di Secondo Livello

CAPITOLO 38 - SEMEIOTICA DEL PAZIENTE EMORRAGICO 489

Girolamo Geraci, Antonio Sciuto, Giuseppe Modica

Valutazione dello scenario 489

Gravità dell'evento emorragico 489

| | |
|---|-----|
| Classificazione della entità del sanguinamento | 490 |
| Emoperitoneo | 491 |
| <i>Cause di emoperitoneo spontaneo</i> | 491 |
| <i>Segni e sintomi</i> | 492 |
| <i>Diagnosi strumentale</i> | 492 |
| <i>Principi di trattamento</i> | 492 |
| Emotorace | 492 |
| Emoretroperitoneo | 494 |
| Emorragie digestive | 494 |
| <i>Definizioni</i> | 494 |
| <i>Cause</i> | 495 |
| Identificazione del livello (sede) del sanguinamento | 495 |
| Emorragie digestive basse | 498 |
| <i>Stratificazione del rischio</i> | 498 |
| Ematoma del muscolo retto dell'addome | 498 |
| QR Code 38.1: | |
| Riassunto, Autovalutazione a risposta multipla, Bibliografia, Retroperitoneo, promemoria anatomico, Stratificazione del rischio, Diagnosi strumentale, Abbreviazioni e acronimi presenti nel capitolo | |
| CAPITOLO 39 - EMERGENZE ED URGENZE TRAUMATOLOGICHE | 499 |
| <i>Stefania Cimbanassi, Osvaldo Chiara</i> | |
| Trauma maggiore | 499 |
| <i>Valutazione primaria</i> | 500 |
| <i>Valutazione secondaria</i> | 503 |
| QR Code 39.1: | |
| Riassunto, Autovalutazione a risposta multipla, Bibliografia, Algoritmo diagnostico per la gestione iniziale del Trauma Maggiore | |
| CAPITOLO 40 - ADDOME ACUTO | 505 |
| <i>Nicolò de Manzini, Alan Biloslavo, Davide Cosola, Marina Troian, Giulio Del Zotto</i> | |
| Parte generale | 505 |
| <i>Anamnesi</i> | 506 |
| <i>Esame obiettivo</i> | 507 |
| <i>Metodologia diagnostica</i> | 510 |
| Diagnostica radiologica e di laboratorio | 510 |
| Parte sistematica | 511 |
| Addome acuto da patologie intestinali | 512 |
| <i>Occlusione intestinale</i> | 512 |
| <i>Patologia ulcerosa peptica</i> | 513 |
| <i>Appendicite acuta</i> | 515 |
| <i>Diverticolite</i> | 517 |
| Addome acuto da patologie epato-bilio-pancreatiche | 519 |
| <i>Colecistite e colangite</i> | 519 |
| Pancreatite | 521 |
| Addome acuto da cause vascolari | 523 |
| <i>Rottura di aneurisma dell'aorta addominale</i> | 523 |
| <i>Occlusione mesenterica acuta</i> | 524 |
| <i>Trombosi venosa mesenterica acuta</i> | 525 |
| <i>Ischemia mesenterica non occlusiva</i> | 525 |

| | |
|---|-----|
| <i>Colite Ischemica</i> | 526 |
| Addome acuto da cause urologiche | 527 |
| <i>Nefroureterolitiasi</i> | 527 |
| <i>Infezioni delle vie urinarie-pielonefrite</i> | 527 |
| Addome acuto da cause ginecologiche | 528 |
| <i>Malattia infiammatoria pelvica PID-Pelvic Inflammatory Disease)</i> | 528 |
| <i>Gravidanza ectopica</i> | 529 |
| <i>Torsione ovarica</i> | 529 |
| QR Code 40.1: | |
| RIASSUNTO, Autovalutazione a risposta multipla, Bibliografia, Algoritmo paziente con dolore addominale e shock | |
| CAPITOLO 41 - VALUTAZIONE DEL RISCHIO OPERATORIO | 531 |
| <i>Gabriella Amorese, Giovanni Consani, Ugo Boggi</i> | |
| <i>Introduzione</i> | 531 |
| Complicanze post-operatorie | 532 |
| Scale per la valutazione del rischio operatorio | 534 |
| Algoritmo per la valutazione del rischio operatorio | 537 |
| Misure di protezione rispetto al rischio operatorio | 537 |
| Conclusioni | 539 |
| QR Code 41.1: | |
| RIASSUNTO, Autovalutazione a risposta multipla, Bibliografia | |
| CAPITOLO 42 - SEMEIOTICA DEL PAZIENTE OPERATO | 541 |
| <i>Enrico Opocher, Matteo Barabino</i> | |
| Caratteristiche del paziente | 541 |
| <i>Ecografia al letto del paziente (Bedside Ultrasonography)</i> | 542 |
| <i>Tecnica anestesiológica</i> | 542 |
| <i>Mininvasività</i> | 543 |
| <i>Enhanced Recovery After Surgery (ERAS®)</i> | 544 |
| Cosa osservare | 544 |
| <i>Sindrome post-operatoria</i> | 544 |
| <i>Il paziente operato</i> | 545 |
| Semeiotica delle complicanze | 548 |
| <i>Complicanze anestesiológicas</i> | 548 |
| <i>Complicanza emorragica</i> | 550 |
| <i>Peritonite</i> | 551 |
| <i>Complicanza renale</i> | 551 |
| <i>Insufficienza respiratoria</i> | 552 |
| <i>Occlusione intestinale</i> | 553 |
| <i>Febbre e complicanze infettive</i> | 554 |
| <i>Trombosi venosa profonda ed embolia polmonare</i> | 556 |
| <i>Scompensi Metabolico-Nutrizionali</i> | 557 |
| <i>Complicanze neurologiche</i> | 558 |
| QR Code 42.1: | |
| RIASSUNTO, Autovalutazione a risposta multipla, Bibliografia, Caratteristiche del paziente, Enhanced Recovery After Surgery (ERAS®), Approfondimento, Sondino Naso-Gastrico (SNG), Approfondimento, Peritonite, Approfondimento, Complicanze renali, Approfondimento, SSI Incisionali, Patogenesi dell'iperglicemia | |

| | |
|--|-----|
| CAPITOLO 43 - IL PAZIENTE TRAPIANTATO | 561 |
| <i>A. Venuti</i> | |
| Fattori condizionanti i risultati del trapianto | 561 |
| <i>Il rigetto</i> | 561 |
| <i>Complicanze post-operatorie</i> | 562 |
| <i>Infezioni</i> | 562 |
| <i>Effetti collaterali di farmaci</i> | 563 |
| QR Code 43.1: | |
| Riassunto, Autovalutazione a risposta multipla, Bibliografia | |
| TRAPIANTO DI RENE | 564 |
| <i>Marco Vivarelli, Roberta Rossi, Federico Mocchegiani</i> | |
| Indicazioni | 564 |
| Fase pre-operatoria | 565 |
| <i>Prelievo da donatore deceduto a cuore battente (Heart Beating Donor, HBD)</i> | 565 |
| <i>Prelievo da donatore a cuore non battente (Non Heart Beating Donor, NHBD)</i> | 565 |
| <i>Prelievo da donatore vivente</i> | 566 |
| Conservazione degli organi | 566 |
| <i>Conservazione mediante immersione</i> | 567 |
| <i>Conservazione mediante perfusione meccanica</i> | 567 |
| Intervento chirurgico | 567 |
| <i>Preparazione degli organi a banco (back-table)</i> | 567 |
| <i>Tecnica di trapianto</i> | 567 |
| Fase post-operatoria | 568 |
| <i>Il rigetto</i> | 569 |
| <i>Le complicanze post-operatorie</i> | 569 |
| <i>Le infezioni</i> | 570 |
| <i>Gli effetti collaterali dei farmaci</i> | 570 |
| QR code: Trapianto di rene | |
| Riassunto, Autovalutazione a risposta multipla, Bibliografia | |
| TRAPIANTO DI POLMONE | 571 |
| <i>Giovanni M. Comacchio, Eleonora Faccioli, Marco Schiavon, Federico Rea</i> | |
| Indicazioni | 572 |
| <i>Controindicazioni assolute al trapianto polmonare</i> | 573 |
| <i>Criteri di elegibilità del donatore</i> | 573 |
| <i>Tecnica di prelievo di polmoni</i> | 573 |
| <i>Trapianto polmonare</i> | 574 |
| Complicanze peri e post-operatorie | 575 |
| <i>Complicanze Chirurgiche</i> | 575 |
| <i>Primary graft dysfunction (PGD)</i> | 575 |
| <i>Rigetto</i> | 575 |
| <i>Infezioni</i> | 578 |
| <i>Complicanze correlate alla terapia immunosoppressiva</i> | 578 |
| QR code: Trapianto di polmone | |
| Autovalutazione a risposta multipla | |

| | |
|--|-----|
| TRAPIANTO DI FEGATO | 579 |
| <i>Francesco Tandoi, Renato Romagnoli</i> | |
| Indicazioni al trapianto di fegato | 579 |
| <i>Trapianto di fegato intero da donatore cadavere non urgente</i> | 579 |
| <i>Indicazioni emergenti: NASH</i> | 582 |
| <i>Controindicazioni assolute e relative</i> | 582 |
| Trapianto di fegato in urgenza | 583 |
| <i>Insufficienza epatica acuta</i> | 583 |
| Ri-trapianto di fegato tardivo | 584 |
| QR code: Trapianto di fegato | |
| Riassunto, Autovalutazione a risposta multipla, Bibliografia, Introduzione, Indicazioni rare al trapianto di fegato, Trapianto di fegato pediatrico, Malattie colestatiche, Malattie metaboliche che causano cirrosi epatica, Malattie del metabolismo in assenza di insufficienza epatica, Insufficienza epatica acuta, Epatoblastoma e altre neoplasie primitive epatiche, Tecnica chirurgica del trapianto di fegato, Dissezione dell'ilo epatico, Accesso e preparazione della vena cava retroepatica, Tecnica classica o standard, Epatectomia totale con preservazione della cava retroepatica (Piggy-Back Technique), Anastomosi cavale, Tecnica classica, Tecnica Piggy-Back, Piggy-Back classico con seconda anastomosi cavale di scarico, Piggy-Back secondo Belghiti, Piggy-Back con triangolazione cavale di allargamento, Anastomosi cavale con tecnica "a paracadute" extra-addominale, Anastomosi portale e rivascolarizzazione dell'organo, Perfusionone dell'organo pre-rivascolarizzazione, Rivascolarizzazione, La sindrome post-reinfusione, Anastomosi arteriosa, Anastomosi arteriosa sul tripode celiaco, Anastomosi sull'arteria splenica, Pontaggio arterioso aortico, Principali ricostruzioni arteriose durante la chirurgia di banco, Anastomosi biliare, Anastomosi biliare L-L, Anastomosi epatico-digiunale T-L, Tecniche di split-liver, Split in-situ adulto-pediatrico, Split in-situ adulto-adulto, Split in-situ adulto-adulto e adulto-pediatrico, Living related liver transplantation | |
| CAPITOLO 44 - ASPETTI DI BIOETICA | 587 |
| <i>Paolo Rubba, Gabriella Iannuzzo, Marco Gentile</i> | |
| <i>Definizione</i> | 587 |
| Il consenso alla terapia | 587 |
| Le sperimentazioni cliniche | 588 |
| Sperimentazioni in situazioni particolari | 589 |
| Impatto della ricerca clinica sulla pratica assistenziale | 589 |
| Sacralità della vita e decisioni cliniche | 591 |
| Manifestazioni anticipate di volontà: autodeterminazione della persona e autonomia del medico | 591 |
| QR Code 44.1: | |
| Riassunto, Autovalutazione a risposta multipla, Bibliografia | |
| <i>Indice analitico</i> | 593 |